

# Приближение ближайшего соседа и функции распределения “свободных” электронов по расстояниям и скоростям в атомарной плазме

А. Л. Хомкин и А. С. Шумихин

Объединенный институт высоких температур РАН, Ижорская ул., 13, стр.2, Москва 125412, Россия

E-mail: shum\_ac@mail.ru

Статья поступила в редакцию 26 сентября 2019 г.

**Аннотация.** В работе рассмотрены два весьма важных для физики низкотемпературной плазмы эффекта: определяющая роль взаимодействия электрона с ближайшим к нему ионом, а также важная роль ограничения фазового пространства “свободных” электронов, связанная с положительной энергией их относительного движения в поле ближайшего иона. Выполнены расчеты средней энергии электрона и функций распределения ближайшего электрона по кинетической энергии и расстояниям в приближении ближайшего соседа с учетом фазовых эффектов, характерных для систем с реакциями. Еще раз подтверждена высказанная ранее идея о немаксвелловости функции распределения “свободных” электронов по скоростям. Выполнены оценки влияния этого эффекта на скорость трехчастичной рекомбинации электронов в плазме и проведено сравнение с данными молекулярно-динамических расчетов. <https://doi.org/10.33849/2019201>

## 1. ВВЕДЕНИЕ

Приближение ближайшего соседа (ПБС) давно и успешно используется в физике плазмы, особенно применительно к вычислению функции распределения микрополя в статистической теории уширения спектральных линий [1, 2], а также в ряде других задач [3]. В этом приближении взаимодействие частицы с окружением заменяется ее взаимодействием с ближайшим соседом, находящимся с определенной вероятностью  $F(R)$  на расстоянии  $R$  от данной точки, где, например, может находиться ион. Эта вероятность определяется как пуассоновская вероятность отсутствия частиц с плотностью  $n$  в полости радиуса  $R$ . Для плотности вероятности имеем [1]:

$$F(R) = 4\pi n R^2 \exp\left(-\frac{4}{3}\pi n R^3\right). \quad (1)$$

Свое развитие это приближение получило в работах [4, 5], где были получены регулярные соотношения для  $F(R)$ , учитывающие плотностные эффекты, и регулярные соотношения для функции распределения микропотенциала (ФРМП) и плотности состояний (ПС) для атомарной плазмы, учитывающие влияние других частиц. В работах [6–8] ПБС использовано для расчёта вероятности существования (реализации) связанного состояния с энергией связи  $E_k$  в атоме водорода и других атомов  $\omega(k)$ .

$$\omega(k) = \exp\left(-\frac{4}{3}\pi n R_k^3\right), \quad (2)$$

где  $R_k$  — радиус орбиты электрона, находящегося в связанном состоянии с энергией связи  $E_k$ .

С использованием (2) статистическая сумма атома  $\Sigma_a$  сходится и легко рассчитывается [8]:

$$\Sigma_a = \sum_{k=1}^{\infty} 2k^2 \exp\left(\frac{Ry}{k^2}\right) \omega(k), \quad (3)$$

где  $Ry$  — потенциал ионизации атома водорода, а для радиуса орбиты связанного электрона с главным кван-

товым числом  $k$  используется соотношение:

$$R_k = \frac{c^2}{E_k} = 2a_0 k^2. \quad (4)$$

Недавно в [9] ПБС было успешно использовано для описания результатов численных экспериментов с прямым измерением ФРМП и ПС некоторых модельных кулоновских систем. В серии работ, посвященных свойствам плазменного флюида паров металлов, состояний с температурой и плотностью выше критической, ПБС предложено использовать для описания энергии межзарядового взаимодействия вместо классической дебаевской энергии. Сравнительный анализ ПБС и дебаевского приближения при расчете термодинамических функций неидеальной плазмы выполнен в [10]. В работе [11] ПБС использовано для оценки влияния эффектов неидеальности на транспортные коэффициенты плотной плазмы. Учтены эффекты уменьшения фазового пространства свободных зарядов.

В настоящей работе рассмотрен ряд важных, на взгляд авторов, примеров использования ПБС в термодинамике и кинетике низкотемпературной плазмы. Выполнен расчет средней потенциальной энергии взаимодействия свободного электрона с плазмой в приближении ближайшего соседа без использования представления о коллективной экранировке. Получена равновесная функция распределения “свободных” электронов по скоростям и расстояниям. Функция распределения по скоростям оказывается не максвелловской. Функция распределения по расстояниям в ПБС и с учетом уменьшения фазового пространства “свободных” электронов конечна при всех расстояниях до ближайшего иона. Получены оценки коэффициента тройной рекомбинации с учетом немаксвелловости равновесной функции распределения электронов по скоростям и выполнено сравнение с численным экспериментом [12].

## 2. ОСНОВНЫЕ СООТНОШЕНИЯ

Рассмотрим неидеальную смесь атомов  $N_a$ , ионов  $N_i$  и электронов  $N_e$ . Система занимает объем  $V$  и на-

ходится при температуре  $k_B T = 1/\beta$ . Плотности частиц определяются как  $n_l = N_l/V$  ( $l=a, i, e$ ). Начнем наше рассмотрение с функции распределения микропотенциала (ФРМП)  $\rho(u)$ , создаваемого ближайшей к началу координат частицей из ансамбля  $N$  случайно расположенных:

$$\rho(u) = \frac{1}{V^N} \int d\Gamma_N \delta(u - \sum_{i=1}^N W(i)), \quad (5)$$

где  $W(i)$  — потенциал, создаваемый одной частицей;  $d\Gamma_N = d\mathbf{R}_1 \dots d\mathbf{R}_N$ .

Для любой конфигурации всегда можно указать (и единственным образом) частицу, ближайшую к началу координат. Пусть это будет частица под номером 1. Проинтегрируем по области, где  $R_i \geq R_1$ , затем учтем конфигурации, когда ближайшей к началу координат будет частица 2 и повторим процедуру и т.д. Считая все интегралы одинаковыми, получим:

$$\begin{aligned} \frac{1}{V^N} \int d\Gamma_N \dots &\equiv \frac{1}{V^N} \sum_{i=1}^N \int dR_i \int d\Gamma_{N-1} R_j > R_i \dots \\ &\equiv \frac{N}{V} \frac{1}{V^{N-1}} \int dR_1 \int d\Gamma_{N-1} R_j > R_1 \dots \end{aligned} \quad (6)$$

Для второго интеграла имеем

$$\begin{aligned} \frac{1}{V^{N-1}} \int d\Gamma_{N-1} R_j > R_1 \dots &= \frac{1}{V^{N-1}} (V - \frac{4}{3}\pi R_1^3)^{N-1} \\ &= \left(1 - \frac{4}{3}\pi n R_1^3 \frac{1}{N-1}\right)^{N-1}. \end{aligned} \quad (7)$$

В пределе  $N \rightarrow \infty$  для  $\rho(u)$  получим:

$$\rho(u) = 4\pi n \int_0^\infty dR R^2 \delta(u - W(R)) \exp\left(-\frac{4}{3}\pi n R^3\right). \quad (8)$$

Функция  $\exp(-4\pi/3nR^3)$  носит название вероятности ближайшего соседа и является пуассоновской вероятностью отсутствия частиц в сфере радиуса  $R$ , а  $4\pi n R^2 \exp(-4\pi/3nR^3)$  — плотность вероятности ближайшего соседа. Последняя нормирована на 1, как и функция  $\rho(u)$ , которая так же нормирована на единицу. Заметим, что (8) не совпадает с парным приближением, для которого  $\rho(u) = V^{-1} \int_0^\infty d\mathbf{R} \delta(u - W(R))$  и она ненормируемая. Приближение ближайшего соседа в определенном смысле является многочастичным, поскольку описывает взаимодействие пробной частицы со всеми частицами ансамбля.

### 3. СРЕДНЯЯ ЭНЕРГИЯ ЗАРЯДА В ПРИБЛИЖЕНИИ БЛИЖАЙШЕГО СОСЕДА

Зная вероятность того, что частица является ближайшей можно вычислить среднюю энергию заряда в плазме. Поместим в начало координат ион и вычислим среднюю энергию его взаимодействия с ближайшим электроном  $E_{\text{NNA}}$ :

$$E_{\text{NNA}} = \left\langle \frac{e^2}{R} \right\rangle. \quad (9)$$

Процедура усреднения должна учитывать два обстоятельства: то, что электрон является ближайшей к пробному иону частицей, а также тот факт (обычно игнорируемый), что электрон является частицей “свободной”. Последнее означает, что энергия относительного движения электрона в поле иона положительна. Для учета этого обстоятельства необходимо использовать импульс движения электрона  $\mathbf{p}$ , поскольку фазовое пространство движения “свободного” электрона  $\Omega$  определяется соотношением:

$$\Omega : \left( \frac{p^2}{2m} - \frac{e^2}{R} \right) \geq 0. \quad (10)$$

В результате для процедуры усреднения (9) по фазовому пространству  $\Omega$  имеем:

$$\begin{aligned} E_{\text{NNA}} = A \int d\mathbf{p} d\mathbf{R} \left( \frac{e^2}{R} \right) \exp\left(-\beta \left( \frac{p^2}{2m} - \frac{e^2}{R} \right)\right) \\ \times \exp\left(-\frac{4}{3}\pi (n_e + n_i) R^3\right). \end{aligned} \quad (11)$$

Константа  $A$  определяется соотношением:

$$1 = A \int d\mathbf{p} d\mathbf{R} \exp\left(-\beta \left( \frac{p^2}{2m} - \frac{e^2}{R} \right)\right) \exp\left(-\frac{4}{3}\pi (n_e + n_i) R^3\right). \quad (12)$$

Вводя безразмерные переменные  $x = (\beta p^2)/(2m)$  и  $y = (\beta e^2)/R$  получим для фазового пространства соотношение  $(x - y) > 0$ , а для интеграла (11):

$$\left\langle \frac{\beta e^2}{R} \right\rangle = A \Gamma^2 \int_0^\infty \frac{dy}{y^4} \left( \frac{2}{\sqrt{\pi}} \int_y^\infty \sqrt{x} e^{-x} dx \right) y e^y \exp\left(-\frac{\Gamma^2}{3y^3}\right). \quad (13)$$

Константа  $A$  определяется из условия нормировки и мы, тем самым, можем не следить за многочисленными множителями, которые появляются в регулярных подходах.

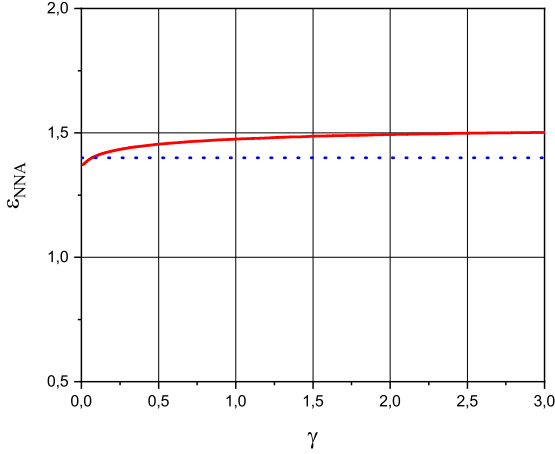
$$1 = A \Gamma^2 \int_0^\infty \frac{dy}{y^4} \left( \frac{2}{\sqrt{\pi}} \int_y^\infty \sqrt{x} e^{-x} dx \right) e^y \exp\left(-\frac{\Gamma^2}{3y^3}\right). \quad (14)$$

При записи (13) мы ввели дебаевский параметр неидеальности  $\Gamma$ . Определим для полноты также и маделунговский параметр неидеальности  $\gamma$ :

$$\Gamma = \frac{\beta e^2}{R_D} = \beta e^2 \sqrt{4\pi \beta e^2 (n_e + n_i)}, \quad (15)$$

$$\gamma = \frac{\beta e^2}{R_i} = \beta e^2 \left( \frac{4\pi n_i}{3} \right)^{1/3}. \quad (16)$$

Внутренний интеграл в (13) по  $x$  дает неполную Гамма-функцию, которая полностью компенсирует расходимость от бoльцмановской экспоненты при больших  $y$  (малые  $R$ ). Приближение ближайшего соседа обеспечивает сходимость (13) при малых  $y$  (большие  $R$ ). Приведенные выкладки показывают, что использование ПБС с учетом ограничения фазового пространства самодостаточная процедура, не требующая использования теории Дебая–Хюккеля и различных процедур обрезания кулоновского потенциала на малых расстояниях. Для средней энергии в ПБС естественным скейлинговым параметром будет энергия электрона на границе



**Рисунок 1.** Безразмерная средняя энергия взаимодействия иона с ближайшим к нему электроном  $\epsilon_{\text{NNA}}$  в зависимости от параметра  $\gamma$ .

ячейки Вигнера-Зейтца —  $e^2/R_i$ , где  $R_i$  — радиус ионной ячейки Вигнера-Зейтца ( $4\pi n_i R_i^3/3 = 1$ ). В результате мы рассмотрим безразмерную величину:

$$\epsilon_{\text{NNA}} = \frac{\langle e^2/R \rangle}{e^2/R_i}. \quad (17)$$

На рисунке 1 нанесена зависимость  $\epsilon_{\text{NNA}}$  от маделунговского параметра неидеальности  $\gamma = (\beta e^2)/R_i$  (сплошная красная кривая). Пунктирная прямая соответствует величине  $\epsilon_{\text{NNA}} = 1.4$ , что можно рекомендовать для экспресс-расчетов.

Полученный численный коэффициент означает, что “свободный” и ближайший к иону электрон находится определенно внутри ячейки Вигнера-Зейтца, образуя своего рода диполь, взаимодействие которых между собой значительно слабее исходного кулоновского. Принципиальным обстоятельством при расчете состава и термодинамических функций неидеальной плазмы, разделившем исследователей на две группы, является существование или отсутствие в предлагаемых физических моделях плазменного фазового перехода. Ответ оказывается достаточно прост: к плазменному фазовому переходу приводят модели, использующие дебаевское приближение для расчета средней энергии взаимодействия заряда с плазмой. ПБС с тем или другим численным коэффициентом [10] к существованию плазменного фазового перехода не приводит.

#### 4. ПОПРАВКА К КИНЕТИЧЕСКОЙ ЭНЕРГИИ “СВОБОДНОГО” ЭЛЕКТРОНА В ПЛАЗМЕ

В настоящем разделе мы хотим обратить внимание на практически забытую серию работ Таймера с коллегами, посвященную исследованию роли фазовых эффектов при расчете различных свойств низкотемпературной плазмы [13, 14]. К сожалению, все усилия авторов были в дальнейшем направлены на модификацию дебаевского результата с учетом фазовых эффектов, под которыми мы подразумеваем влияние ограничения фа-

зового пространства “свободных” частиц, определяемого неравенством (10). Принципиальных результатов, которые вошли бы в создаваемые потом химические модели, Таймер с сотрудниками не получили, но, тем не менее, они впервые обратили внимание на необычные свойства ансамбля “свободных” частиц. Среди важнейших с нашей точки зрения результатов необходимо отметить найденную ими поправку к кинетической энергии “свободных” электронов, а также вывод о немаксвелловости функции распределения “свободных” электронов по скоростям. Кстати, к такому же результату пришли авторы [15], применив метод канонического преобразования к кулоновской системе.

Мы специально обращаем внимание на то, что обсуждаемые эффекты относятся к ансамблю “свободных” электронов, ансамблю необычному тем обстоятельством, что фазовое пространство движения “свободных” электронов ограничено в соответствии с (10).

Повторим выкладки [13] для расчета поправки к кинетической энергии “свободного” электрона. Рассмотрим, следуя [13], плазму высокотемпературную  $k_B T \gg Ry$ . Полное число ядер  $N = N_a + N_e$ . Таймер и др. обратили внимание на то, что даже в плазме высокотемпературной, где больцмановская экспонента обращается в единицу, имеются атомы, доля которых определяется статистической суммой  $\Sigma_0 = \sum_1^{k^*} k^2 = (k^*)^3/3$ . Для максимального квантового числа авторы использовали вполне разумное и широко используемое в дальнейшем соотношение  $a_0(k^*)^2 = R_i$ . Запишем, следуя [13], соотношение для полной кинетической энергии плазмы, которая складывается из кинетических энергий “свободных”  $N_e$  и связанных  $N_a$  электронов:

$$N \frac{3}{2} k_B T = N_e \left( \frac{3}{2} k_B T + f_1 \right) + N_a E_{a,\text{kin}}, \quad (18)$$

где  $f_1$  — искомая поправка к кинетической энергии “свободных” электронов.

Используя цепочку неравенств  $E_{a,\text{kin}} \sim Ry \ll k_B T$  для поправки к кинетической энергии, получаем:

$$f_1 = \frac{N_a}{N_e} k_B T = \frac{\sqrt{3\pi} e^2}{R_D}. \quad (19)$$

Мы использовали найденное в [13] соотношение:

$$\frac{N_a}{N_e} = \sqrt{\frac{2\pi}{3}} \pi (\beta e^2)^{3/2}. \quad (20)$$

Поправка к кинетической энергии оказывается порядка дебаевской энергии и, участвуя в термодинамических расчетах с положительным знаком, практически обнуляет дебаевскую поправку. Практический учет этой поправки приводит к своего рода идеально-газовому поведению “неидеальной” плазмы. Заметим, что поправка (19) лишь буквенно совпадает с дебаевской энергией, но к теории Дебая-Хюккеля отношения не имеет. В [16], при развитии концепции “Базовых химических моделей”, этот результат был получен в большом каноническом ансамбле для плазмы низкотемпературной и совершенно иным способом. Учет рассмотренного результата группы Таймера 1969 года в термодинамических расчетах мог бы изменить вывод [17] о возможном существовании плазменного фазового перехода.

## 5. РАСПРЕДЕЛЕНИЕ “СВОБОДНЫХ” ЭЛЕКТРОНОВ ПО СКОРОСТЯМ

В классической статистической физике функция распределения частиц по скоростям всегда максвелловская, причем при любой плотности [18]. Это обусловлено тем, что интегрирование по импульсам и координатам в выражении для статистической суммы разделяются. Интегрирование по координатам бoльцмановской экспоненты приводит к появлению конфигурационного интеграла, а оставшаяся часть разбивается на произведение максвелловских функций распределения. Авторы [14] и [19] обратили внимание на то, что в случае образования в атомарном газе связанных состояний (атомов или молекул) полное фазовое пространство относительного движения двух частиц также должно быть разделено на две части. Первая соответствует отрицательным энергиям относительного движения (атомарная и молекулярная компоненты), а вторая — положительным (“свободные” электроны и “свободные” атомы). Для атомарно-молекулярного газа, в котором образование молекул можно в принципе описать в рамках классической статистики, функция распределения по скоростям остается максвелловской для всех частиц, как связанных, так и “свободных”. Вполне разумным представляется предположение, что для “свободных” частиц распределение по скоростям (кинетическим энергиям) может оказаться отличающимся от максвелловского, что и было получено в [18].

Для атомарной плазмы, где одновременно присутствуют атомы и свободные электроны, предположение о немаксвелловости функции распределения “свободных” электронов по скоростям впервые сделано в [14]. Исследование этого вопроса представляется важным, поскольку многие кинетические характеристики частично ионизованной плазмы, такие как проводимость, коэффициент тройной рекомбинации и т.д., определяются путем усреднения по функции распределения “свободных” электронов по скоростям. В дальнейшем это предположение было подтверждено в предварительных численных экспериментах [20]. Следуя работе [14], проиллюстрируем вышесказанное на примере атомарной плазмы, в которой происходит образование связанных состояний (атомов) и есть “свободные” частицы (электроны и ионы). Считая ионы массивными частицами, рассмотрим функцию распределения электронов по кинетическим энергиям. Используя безразмерные переменные, введенные ранее (12) для функции распределения  $f(x, \Gamma)$  получим:

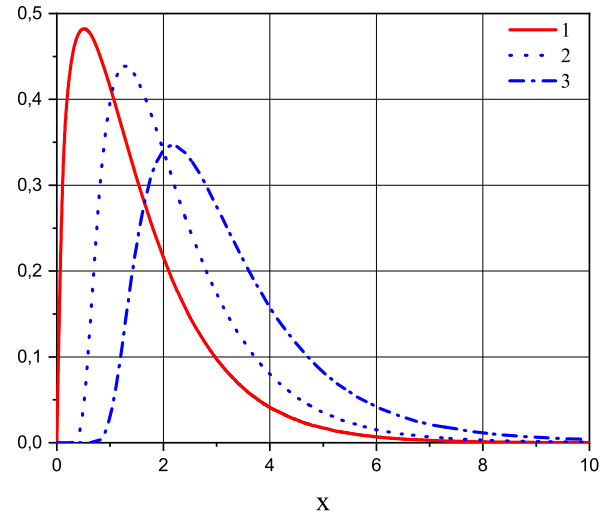
$$f(x, \Gamma) = A(\Gamma)\sqrt{x}e^{-x}H(x, \Gamma). \quad (21)$$

Фазовые эффекты ( $x - y > 0$ ) и эффекты ПБС учитываются функцией:

$$H(x, \Gamma) = \Gamma^2 \int_0^x \frac{e^y}{y^4} \exp\left(-\frac{\Gamma^2}{y^3}\right) dy. \quad (22)$$

Нормировочная константа  $A(\Gamma)$  определяется из условия нормировки:

$$\int_0^\infty f(x, \Gamma) dx = 1. \quad (23)$$



**Рисунок 2.** Функция распределения “свободных” электронов в зависимости от безразмерной кинетической энергии  $x$ : 1 — распределение Максвелла; 2 — расчет по формуле (21),  $\Gamma = 1$ ; 3 — расчет по формуле (21),  $\Gamma = 3$ .

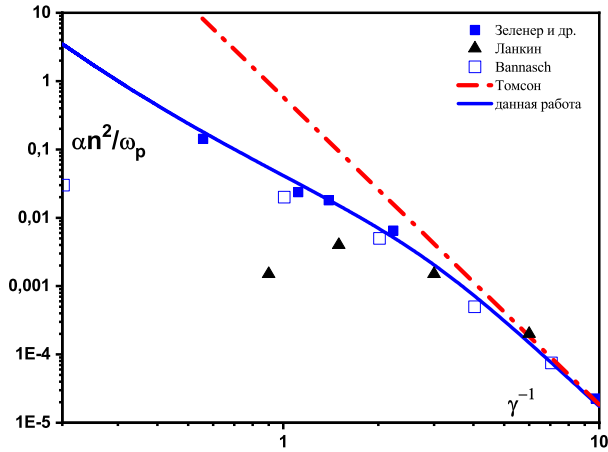
Максвелловское распределение в безразмерных переменных имеет вид:

$$f_M(x) = \frac{2}{\sqrt{\pi}} \sqrt{x} e^{-x}. \quad (24)$$

На рисунке 2 представлены функции распределения электронов по кинетической энергии, рассчитанные по формулам (21) и (24) для параметров неидеальности  $\Gamma = 1, 3$ . Видно, что эффект немаксвелловости проявляется достаточно заметно, особенно при больших кинетических энергиях. Хорошо видно смещение максимума распределения в сторону больших кинетических энергий. Происходит своего рода перегрев “свободных” электронов. Очевидно, что учет этого эффекта может приводить к значительному изменению различных кинетических коэффициентов, при расчете которых необходимо выполнять усреднение по скоростям свободных частиц.

В последнее время появились работы [12, 21–23], в которых методом молекулярной динамики исследуется релаксация модельных кулоновских систем и выполнены расчеты коэффициента рекомбинации в неидеальной плазме. Работы [21] и [23] отличаются процедурами расчета. Так в [21] измеряется поток в пространстве энергий связанных состояний, а в [23] — нарастание числа связанных состояний, которые определяются по числу оборотов электрона вокруг иона.

Нами выполнена оценка роли немаксвелловости на коэффициент рекомбинации. В соответствии с теорией Томсона средняя частота рекомбинации пропорциональна скорости налетающего электрона ( $\sim \sqrt{p^2/(2m)}$ ), резерфордовскому сечению рассеяния ( $\sim 1/(p^2/(2m))^2$ ) и кубу длины Ландау ( $\sim 1/(p^2/(2m))^3$ ). Это приводит к известной зависимости коэффициента тройной рекомбинации от кинетической энергии налетающего электрона ( $\sim (p^2/(2m))^{-9/2}$ ).



**Рисунок 3.** Зависимость безразмерного коэффициента рекомбинации от параметра неидеальности  $\gamma$ . Данные численного моделирования: сплошные квадраты — [21], открытые квадраты — [22], сплошные треугольники — [23]. Теория: штрихпунктирная кривая — Томсон, формула (26); сплошная кривая — данная работа, расчет с учетом корректирующего фактора (25)

С использованием найденной нами функции распределения по кинетическим энергиям “свободных” электронов мы рассчитали корректирующий фактор:

$$K(\gamma) = \frac{\langle \left(\frac{p^2}{2m}\right)^{9/2} \rangle_{\text{Max}}}{\langle \left(\frac{p^2}{2m}\right)^{9/2} \rangle_{\text{NonMax}}}. \quad (25)$$

В числителе усреднение выполняется с функцией распределения Максвелла (24), а в знаменателе — с (21). Используя для коэффициента рекомбинации по Томсону  $\alpha_T$  выражение:

$$\alpha_T = 2.07 \frac{e^{10}}{\sqrt{m\Gamma^{9/2}}}, \quad (26)$$

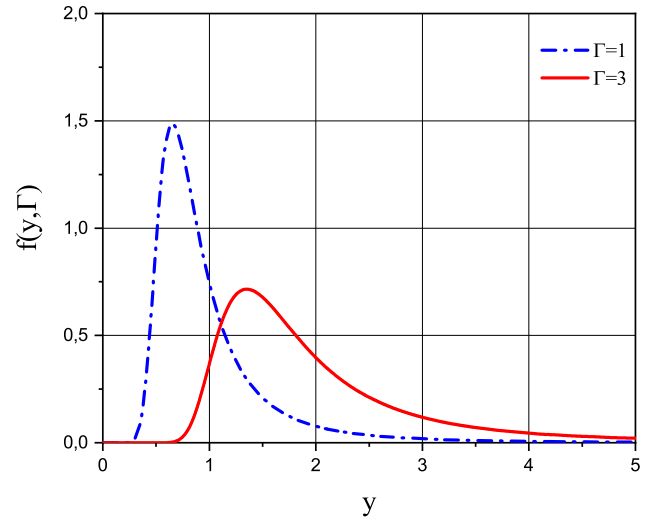
можно получить оценку эффекта немаксвелловости при расчете  $\alpha_{NM} = \alpha_T K(\gamma)$ .

На рисунке 3 представлены зависимости безразмерных коэффициентов рекомбинации ( $\alpha_T$  и  $\alpha_{NM}$ ) в единицах  $\omega_p/n^2$  от параметра неидеальности  $\gamma^{-1}$ , а также данные численного моделирования [12, 21–23].

Значительно ранее в [24] при рассмотрении процесса рекомбинации в сильно неидеальной плазме было замечено, что средняя кинетическая энергия “свободного” электрона будет близка к кинетической энергии движения электрона по силовой траектории в поле ближайшего иона  $\sim e^2/R_i$ . Использование аналогичного предположения в [21] привело к неплохому согласию с данными численных экспериментов. Заметим, что при получении своего результата авторы [21, 24] не связывали его с эффектом немаксвелловости.

## 6. РАСПРЕДЕЛЕНИЕ “СВОБОДНЫХ” ЭЛЕКТРОНОВ ПО РАССТОЯНИЯМ

В этом разделе рассмотрим в ПБС функцию распределения “свободных” электронов по расстояниям до



**Рисунок 4.** Функция распределения ближайших “свободных” электронов от иона в зависимости от безразмерного расстояния  $y$  для параметра неидеальности  $\Gamma = 1$  (штрихпунктирная кривая) и параметра неидеальности  $\Gamma = 3$  (сплошная кривая).

ближайшего иона с учетом фазовых эффектов. Фактически эта функция распределения уже была использована нами интегрально при расчете средней энергии “свободного” электрона (11):

$$f(y, \Gamma) = A(\Gamma) \frac{\Gamma^2}{y^4} \left( \frac{2}{\sqrt{\pi}} \int_y^\infty \sqrt{x} e^{-x} dx \right) e^y \exp\left(-\frac{\Gamma^2}{3y^3}\right) \quad (27)$$

где константа  $A(\Gamma)$  определяется из условия нормировки  $\int_0^\infty dy f(y, \Gamma) = 1$ .

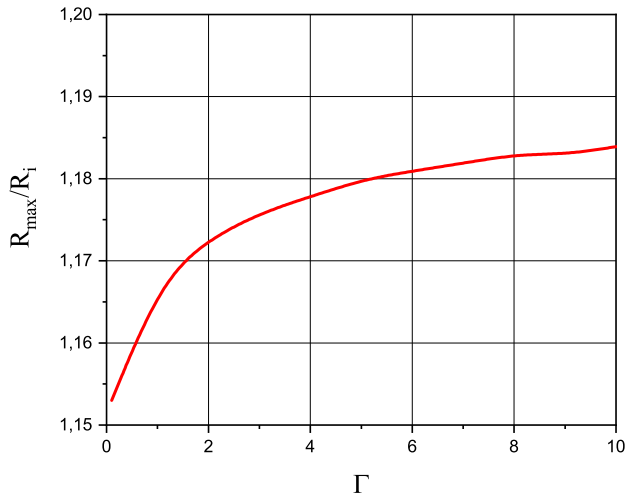
В отличие от парного приближения, найденная нами  $f(y, \Gamma)$  является конечной при всех расстояниях и приводит к конечной средней энергии заряда (13) в плазме. На рисунке 4 представлены соответствующие расчеты для двух значений параметра  $\Gamma$ .

Функция распределения (27) является конечной при всех расстояниях и является именно функцией распределения, поскольку она нормируемая, в отличие от парной. Хорошо видно смещение максимума распределения в сторону больших  $y$  (малые  $R$ ).

Рисунок 5 показывает положение максимума функции распределения по расстояниям в единицах радиуса Вигнера–Зейтца в зависимости от параметра неидеальности. Вновь видно, что ближайший электрон находится ненамного, но все же внутри ячейки Вигнера–Зейтца, образуя своего рода диполь, что несколько ослабляет совокупное взаимодействие “свободных” электронов и ионов. Некоторое отличие результатов для средней энергии (13) и для обратного среднего расстояния связано с разницей интегралов  $\int_0^\infty y f(y, \Gamma) dy$  и  $\int_0^\infty y^{-1} f(y, \Gamma) dy$ .

## 7. ЗАКЛЮЧЕНИЕ

В работе выполнены расчеты средней энергии и функций распределения электрона по кинетической



**Рисунок 5.** Зависимость безразмерной координаты максимума функции распределения  $R_{\max}/R_i$  ближайших электронов от параметра неидеальности  $\Gamma$ .

энергии и расстояниям в приближении ближайшего соседа с учетом фазовых эффектов, характерных для систем с реакциями. Подтверждена высказанная в [14] идея о немаксвелловости функции распределения “свободных” электронов по скоростям. Выполнены оценки влияния этого эффекта на скорость трехчастичной рекомбинации электронов в плазме и проведено сравнение с данными молекулярно-динамических расчетов.

## БЛАГОДАРНОСТИ

Авторы благодарят участников семинара Теоретического отдела им. Л. М. Бибермана ОИВТ РАН за активное и конструктивное обсуждение работы.

## СПИСОК ЛИТЕРАТУРЫ

1. Чандрасекар Р 1947 *Стохастические проблемы в физике и астрономии* (Москва: Изд-во иностр. лит.)
2. Собельман И И 1963 *Введение в теорию атомных спектров* (Москва: Физматлит)
3. Кудрин Л П 1974 *Статистическая физика плазмы* (Москва: Атомиздат)
4. Воробьев В С и Хомкин А Л 1976 *ТМФ* **26** 364
5. Воробьев В С и Хомкин А Л 1977 *Физика плазмы* **3** 885
6. Dappen W, Mihalas D, Hummer D G and Mihalas B W 1988 *Astrophys. J.* **332** 261
7. Hummer D G and Mihalas D 1988 *Astrophys. J.* **331** 794
8. Potekhin A Y 1996 *Phys. Plasmas* **3** 4156
9. Хомкин А Л и Шумихин А С 2016 *ТВТ* **54** 851
10. Хомкин А Л и Шумихин А С 2019 *Вестник ОИВТ РАН* **2** 19
11. Bobrov A A, Vorob'ev V S and Zelener B V 2018 *Phys. Plasmas* **25** 033513
12. Бобров А А, Зеленер Б В, Зеленер Б В и Хихлуха Д Р 2013 *ТВТ* **51** 685
13. Theimer O and Wright T 1969 *Phys. Rev.* **180** 308–14
14. Theimer O and Deering W 1964 *Phys. Rev.* **134** A287–95
15. Воробьев В С и Хомкин А Л 1972 *ТВТ* **10** 939
16. Хомкин А Л, Воробьев В С, Муленко И А и Олейникова Е Н 2001 *Физика плазмы* **27** 369
17. Норман Г Э и Старостин А Н 1970 *ТВТ* **8** 413–38
18. Ландау Л Д и Лифшиц Е М 1976 *Статистическая физика* (Москва: Наука)
19. Хилл Т 1960 *Статистическая механика* (Москва: Изд-во иностр. лит.)
20. Maiorov S A and Khomkin A L 2019 *Phys. Sciences and Technology* **6** 57–67
21. Бобров А А, Бронин С Я, Зеленер Б В, Зеленер Б В, Манькин Э А и Хихлуха Д Р 2011 *ЖЭТФ* **139** 822–28
22. Vannasch G and Pohl T 2011 *Phys. Rev. A* **84** 052710
23. Lankin A V and Norman G E 2009 *J. Phys. A* **42** 214032
24. Биберман Л М, Воробьев В С и Якубов И Т 1987 *ДАН* **296** 577